

# KVMにおける仮想マシンの内部監視機構の実装と性能評価

中村孝介<sup>1</sup> 光来健一<sup>1,2</sup>

受付日 xxxx年0月xx日, 採録日 xxxx年0月xx日

**概要:** 本稿では、Linux KVMにおいて、仮想マシン（VM）を用いた侵入検知システム（IDS）のオフロードを実現するシステム *KVMonitor* を提案する。KVMonitor は IDS が VM の外から安全にメモリやディスク、ネットワークの監視を行うことを可能にする。我々は KVMonitor を用いて、既存の IDS をオフロードするための実行環境を提供する Transcall を KVM に移植した。Transcall を用いた実験により、オフロードした IDS が正しく攻撃を検出できることを確認した。また、KVM と Xen における IDS オフロードの性能比較を行った。

## Implementation and Evaluation of Virtual Machine Introspection in KVM

KOUSUKE NAKAMURA<sup>1</sup> KENICHI KOURAI<sup>1,2</sup>

Received: xx xx, xxxx, Accepted: xx xx, xxxx

**Abstract:** In this paper, we propose the system for offloading intrusion detection systems (IDSe) with virtual machines (VMs) in Linux KVM, called *KVMonitor*. KVMonitor enables IDSe to securely monitor the memory, disks, and networks of VMs from the outside. Using KVMonitor, we have ported Transcall, which provides execution environments for offloading the existing IDSe, to KVM. We confirmed that offloaded IDSe could detect attacks correctly. In addition, we compared the performance of IDS offloading in KVM and Xen.

### 1. はじめに

インターネットに接続されたサーバへの攻撃は年々増加している。攻撃を受けると、重要な情報を盗まれたり、サーバの機能を停止させられてサービスが提供できない状態になったりする。このような攻撃者の侵入を検知する手段として侵入検知システム（IDS）が用いられている。IDS はサーバのシステムやネットワークの監視を行い、異常を検知したら管理者に通知を行う。しかし、近年、攻撃者は IDS に検知されるのを防ぐために、侵入後に IDS の無効化や改ざんを試みるようになってきた。IDS が攻撃を受けるとそれ以降の攻撃を検知できなくなってしまう。

このような IDS 自身への攻撃に対処するために、仮想マシン（VM）を用いて IDS をオフロードするという手法が提案されている [1]。IDS オフロードは監視対象システムを VM 上で動作させ、IDS を監視対象 VM の外側で実行して監視を行う手法である。IDS オフロードを行うことにより、監視対象 VM に侵入されたとしても IDS を攻撃することはできず、IDS のセキュリティを向上させることができる。

これまで、IDS オフロードの研究は様々な仮想環境で行われてきた [1], [2], [3] が、KVM における IDS オフロードの研究はほとんど行われていない。KVM は急速に普及しつつあるため、IDS オフロードを実現できるようになることがセキュリティを向上させるために必要である。我々はこれまでに、Xen [4] を用いて様々な IDS オフロードの研究を行ってきた [5], [6], [7]。しかし、KVM のアーキテク

<sup>1</sup> 九州工業大学

Kyushu Institute of Technology

<sup>2</sup> 独立行政法人科学技術振興機構 CREST  
JST, CREST

チャは Xen とは大きく異なるため、Xen における IDS オフロードの手法を適用できるかどうかは不明であった。また、異なるアーキテクチャ間での IDS オフロードの性能比較も行われてこなかった。

本稿では、KVMにおいてIDSオフロードを実現するシステムであるKVMonitorを提案する。KVMonitorはIDSをホストOS上にオフロードし、VMのメモリやディスク、ネットワークの監視を行うことを可能にする。IDSがVMのメモリを監視できるようにするために、VMに割り当てる物理メモリをファイルとして作成し、VMとIDSの両方にメモリマップする。ディスクの監視のために、ネットワーク・ブロックデバイスを用いて、KVMの標準形式のディスクイメージを扱えるようにする。また、IDSオフロードに伴って生じるVMの性能分離の問題を解決するために、ホストOSのCgroups機構を用いてVMとオフロードしたIDSをグループ化する。

我々はKVMonitorをQEMU-KVM 1.1.2に対して実装し、既存のIDSをオフロード可能にするTranscall[7]をKVMに移植した。KVMonitorを用いていくつかのIDSを実行することにより、ホストOS上のIDSがVM内の異常を検知できることを確かめた。さらに、XenにおけるIDSオフロードとの性能比較を行った。基本的な性能として、VMに対するメモリ読み込み性能、ディスク読み込み性能、パケットキャプチャ性能を調べ、IDSの実行時間の比較も行った。

以下、2章でXenにおけるIDSオフロードについて説明し、3章でKVMonitorについて述べる。4章ではKVMonitorを用いて行った実験について述べる。5章で関連研究に触れ、6章で本稿をまとめるとする。

## 2. 背景

### 2.1 XenにおけるIDSオフロード

Xenにおいては、IDSをドメインUからドメイン0にオフロードするのが一般的である。ドメイン0はドメインUを管理するための特権を持ったVMであり、ドメインU内の様々なリソースを監視することが可能である。ドメイン0以外のVMにオフロードする手法として、ドメインM[8]やSSC[9]などが提案されており、仮想マシンモニタ(VMM)にオフロードすることも可能であるが、本稿ではドメイン0にオフロードする場合について考える。

ドメイン0にオフロードしたIDSは、VMMの機能を用いてドメインUのメモリをマップすることでメモリの監視を行う。プロセス構造体など、特定のカーネルデータを監視するには、VMイントロスペクション[1]と呼ばれる技術を用いる。VMイントロスペクションはアドレス変換を行ってカーネルデータの仮想アドレスからそのデータが置かれている物理ページを特定し、そのページをマップすることでアクセスを行う。物理ページを特定するにはま

ず、ハイパーコールを発行してVMMからドメインUの仮想CPUのCR3レジスタの値を取得する。次に、CR3レジスタに格納されているページディレクトリのアドレスを起点として、ページテーブルが格納されている物理ページのマップを数回繰り返してページテーブルをたどる。

ドメイン0のIDSは、ドメイン0上に置かれているドメインUのディスクイメージにアクセスすることで、ディスクの監視を行う。Xenでは、ドメインUのディスクイメージはドメイン0のファイルまたは、ディスク・パーティションとして作成される。ファイルとして作成されたディスクイメージには、デフォルトでraw形式が用いられており、ドメイン0のカーネルがファイルシステムをサポートしていれば、そのままループバック・マウントすることができる。論理ボリュームマネージャ(LVM)が用いられている場合には、論理ボリュームをアクティブにしてからマウントする。このディスクイメージはドメインUからもマウントされているため、ファイルシステムを破壊しないよう読み込み専用でマウントする。

ドメイン0のIDSはドメインUのネットワーク・インターフェースからパケットをキャプチャすることで、ネットワークの監視を行う。Xenでは、ドメインUのネットワーク・インターフェースに対応するバックエンドが仮想インターフェース(vif)としてドメイン0に作成される。ドメイン0がドメインU宛てのパケットを受信すると、ネットワーク・ブリッジと仮想インターフェースを経由して、ドメインUのネットワーク・インターフェースにパケットが送られる。逆に、ドメインUがパケットを送信すると、ドメイン0の仮想インターフェースとネットワーク・ブリッジを経由して外部に送信される。そのため、ドメイン0の仮想インターフェースでドメインUが送受信するすべてのパケットをキャプチャすることができる。

### 2.2 IDSオフロード時の性能分離

VMMはVM単位でリソース管理を行っているため、ドメイン0にIDSをオフロードするとIDSはドメイン0のリソースを消費することになる。ドメイン0はすべてのドメインUで共有されているため、IDSオフロードによってドメイン0のリソースが消費されるとドメインU間の公平が保てなくなる。例えば、大量のリソースを消費するIDSをオフロードしたドメインUはその分だけ多くのリソースを利用できてしまう。オフロードする前のIDSはドメインUのリソースを消費していたため、このような不公平は生じなかった。

この問題を解決するために、Resource Cageと呼ばれるリソース管理手法が提案されている[5]。Resource CageはVMとオフロードしたIDSをひとまとまりとして管理することを可能にしている。OffloadCage[5]はXenのクレジットスケジューラに変更を加えて、IDSプロセスが消費

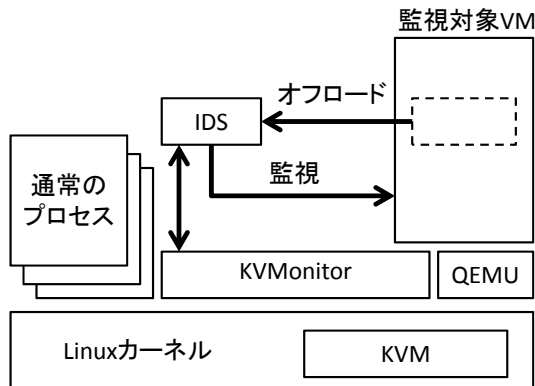


図1 KVMonitorの構成

したCPU時間を考慮してドメインUに配分するCPU時間を減らす。Balloon Performer [6]はIDSプロセスが消費したメモリ量をドメインUへのメモリ割り当てから減らすことで、合計のメモリ量を一定に保つ。IDSプロセスの消費メモリには、ファイルを読み込むことによってOS内に作られるファイルキャッシュも考慮されている。しかし、ドメイン0のIDSはOSによって管理されているのに対し、ドメインUはVMMによって管理されているため、IDSとドメインUの間でのリソース割り当てを柔軟に行うのは容易ではない。

### 3. KVMonitor

本稿では、KVMにおいてIDSオフロードを実現するシステムであるKVMonitorを提案する。KVMonitorはVMのメモリとディスク、ネットワークの監視に対応している。

#### 3.1 アーキテクチャ

KVMonitorは図1のように、IDSをホストOS上のプロセスとしてオフロードする。KVMはLinuxカーネルの中でVMMを動作させ、VMをホストOSの一つのプロセスとして管理している。このプロセスはQEMUと呼ばれるエミュレータであり、VMにメモリ、ディスク、ネットワークなどの仮想デバイスを提供している。ホストOS上のIDSはQEMUが管理するこれらの仮想デバイスにアクセスすることで、VMの監視を行うことができる。Xenと同様に、監視用のVMを作つてIDSをオフロードするアーキテクチャも考えられるが、KVMには特権を持ったVMが存在しないため、ホストOSにアクセスできるVMが必要になる。そのため、ホストOS上に直接、IDSをオフロードするアーキテクチャを採用した。

#### 3.2 メモリの監視

オフロードしたIDSがVMのメモリを監視できるようにするために、KVMonitorはVMに割り当てる物理メモリをホストOS上のファイル（メモリファイル）として作成する。このファイルをQEMUとIDSの両方にマップす

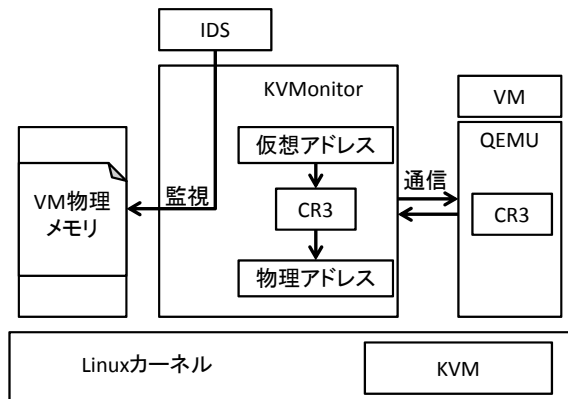


図2 メモリアドレスの変換

ることにより、VMに対しては従来通りの直接メモリアクセスを可能にしつつ、外部のIDSもそのメモリを参照することができる。従来のQEMUではVMの物理メモリをmallocによって確保していたため、QEMUの外部から参照することはできなかった。QEMUは元々、ファイルをVMの物理メモリとして用いるオプションを提供していたが、他のプロセスがこのファイルにアクセスできないようにファイルを削除していた。そこで、QEMUに修正を加えてファイルを削除しないようにした。

IDSは仮想アドレスを用いてVMのメモリ上のデータにアクセスするため、KVMonitorが仮想アドレスを物理アドレスに変換する。メモリマップされるVMのメモリは物理メモリであり、物理アドレスでアクセスする必要があるためである。KVMonitorはメモリアドレスを変換するために必要なCR3レジスタの値をQEMUと通信して取得する。既存のQEMUは外部からCR3レジスタの値を取得する手段を提供していなかったため、CR3レジスタの値を返すコマンドをQEMUに追加した。KVMonitorはQEMU Monitor Protocol (QMP)を用いてQEMUのコマンドを実行する。KVMonitorは取得したCR3レジスタの値を用いてページテーブルをたどり、アドレス変換を行う。

QEMUはHugeTLBファイルシステム(hugetlbf)をマウントしたディレクトリにメモリファイルを配置することで、ホストOSのメモリ性能への影響を抑える。HugeTLBファイルシステムはファイルをメモリマップする際に、ページサイズを4KBから2MBに拡張する Hugeページ機構を用いる。ページサイズを大きくすることにより、TLBのエンタリの消費を抑え、アドレス変換も高速に行うことができるようになる。

#### 3.3 ディスクの監視

KVMのデフォルトであるqcow2形式のディスクイメージを監視できるようにするために、KVMonitorはネットワーク・ブロックデバイス(NBD)の機能を用いる。qcow2形式はディスクに割り当てたサイズではなく、実際に使用

しているサイズのディスクイメージを作成するため、ディスクスペースの節約ができるという利点を持っている。しかし、qcow2 形式のディスクイメージはホスト OS 上で直接マウントすることができない。そこで、KVMonitor では NBD の機能を用いて qcow2 形式のディスクイメージを仮想的なブロックデバイスとしてマウントすることで、IDS にディスクを監視する環境を提供する。

KVMonitor は qcow2 形式のディスクイメージを qemu-nbd と呼ばれるツールを用いてホスト OS 上にマウントする。qemu-nbd は NBD サーバとして振る舞い、qcow2 形式などの特殊なディスクイメージを仮想的なブロックデバイスとして nbd-client に見せる。nbd-client はそのブロックデバイスをブロックデバイス・ファイルに結びつける。KVMonitor はこのブロックデバイス・ファイルをマウントし、IDS がアクセスするたびに qemu-nbd と通信してディスクブロックを変換する。ファイルシステムの整合性を保つために、KVMonitor は VM のディスクイメージを読み込み専用でマウントする。

### 3.4 ネットワークの監視

KVMonitor は VM をホスト OS のネットワークにブリッジ接続し、QEMU が作成する tap デバイスを IDS に提供する。tap デバイスは、ホスト OS が QEMU と通信するための仮想的なイーサネットデバイスを提供する機能である。KVM のデフォルトのネットワーク構成は NAT 接続になっているが、この場合には、VM 外部から監視できるインターフェースは作成されないため監視を行うことができない。

### 3.5 Transcall の移植

Transcall [7] は VM Shadow と呼ばれる実行環境を提供し、その中で動作する IDS が VM を透過的に監視することを可能にする。Transcall を用いることで、既存の IDS を修正することなくオフロードして実行することができるようになる。Transcall はシステムコール・エミュレータと Shadow ファイルシステムで構成されている。システムコール・エミュレータは IDS が発行するシステムコールに VM 内の情報を返させるために、VM 内のカーネルデータから必要な情報を取得する。Shadow ファイルシステムは VM 内と同一のファイルシステムを提供しつつ、安全のために IDS の実行に必要なファイルだけホスト OS 上のファイルを使わせる。Shadow ファイルシステムの一部である Shadow proc ファイルシステムは、VM 内のメモリを解析して、プロセスやネットワークに関する情報を提供する。

我々は Xen を対象として開発されていた Transcall を KVM に移植した。そのために、Transcall のシステムコール・エミュレータと Shadow proc ファイルシステムについて、KVMonitor を用いて VM のメモリにアクセスするよ

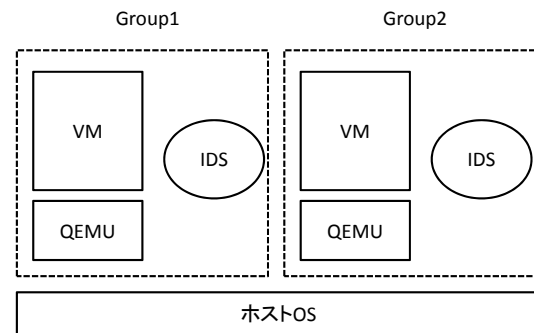


図 3 VM と IDS のグループ化

うにした。

### 3.6 VM の性能分離

オフロードした IDS と VM をひとまとまりとしたリソース管理を行えるようにするために、KVMonitor は Linux の Cgroups 機能を用いる。Cgroups は複数のプロセスをグループ化して、そのグループ単位でリソース割り当てを行う機能である。この機能を用いて図 3 のようにホスト OS 上で IDS と VM の 2 つのプロセスをグループ化する。このグループに対して CPU やメモリへの制約を設定することで、グループ間での性能分離を実現する。このようなグループ化は KVM において、VM がホスト OS の 1 つのプロセスとして作成されているために容易に行うことができる。

グループに対する CPU に関する制約として、シェアと上限を設定することができる。シェアにはグループ間での CPU 時間の相対的配分を指定することができる。上限は 100 ms の間に CPU を割り当てる最大時間を指定することで設定する。これらの CPU 時間は IDS と VM の間で任意に配分される。一方、メモリに関する制約として、グループに割り当てるメモリ量の上限を設定することができる。このメモリ量にはホスト OS 内に確保されたファイルキャッシュも含まれるため、ディスクの監視のようにファイルキャッシュを大量に使う IDS についても、使用するメモリ量を厳密に制限することができる。割り当てられたメモリ量は IDS と VM の間で任意に配分される。

## 4. 実験

KVMonitor を用いてオフロードされた IDS が正常に監視を行えることを確認する実験を行った。また、KVM と Xen においてオフロードされた IDS の監視性能を比較する実験も行った。KVM 用と Xen 用にそれぞれ、Intel Xeon E5630 (4 コア、2.53GHz、L3 キャッシュ 12MB) の CPU、6 GB のメモリ (DDR3、1066MHz)、250 GB の HDD を搭載したマシンを用いた。KVM 用のマシンでは、修正を加えた QEMU-KVM 1.1.2 を用い、ホスト OS として Linux 3.2.0 を動作させた。Xen 用のマシンでは、Xen 4.1.3 を用い、ド

メイン 0 の OS として完全仮想化で動作する Linux 3.2.0 を動作させた。VM 内のゲスト OS には Linux 2.6.27.35 を用いた。

#### 4.1 動作テスト

##### 4.1.1 IDS オフロード

オフロードした chkrootkit [10] が正しくルートキットを検出できることを確認するために、ホスト OS 上で Trascall を用いて chkrootkit を実行した。VM 内の ps コマンドと netstat コマンドを改ざんしたところ、ホスト OS 上からでも chkrootkit は改ざんを検出することができた。

次に、ホスト OS 上で Tripwire [11] を実行し、VM のディスクの監視を行った。Tripwire のポリシーファイルには VM の /home 以下のファイルを監視するように記述した。まず、ホスト OS 上で Tripwire を実行してファイルの正常な状態を記録し、VM 内で 3 つのファイルについて追加、削除、変更を行った。その後で、ホスト OS 上で Tripwire を実行してファイルの検査を行ったところ、この 3 つのファイルの変化を正しく検出することができた。

最後に、Snort [12] をホスト OS 上にオフロードし、ポートスキャンを検出できることを確認する実験を行った。Snort には VM の tap デバイスを監視するように指定した。ポートスキャンを行うために、VM に対して nmap コマンドを実行した。その結果、Snort の警告ログがホスト OS 上の /var/log/snort/alert に正常に記録された。

##### 4.1.2 Cross-View Diff

隠しプロセスを発見するために、ホスト OS にオフロードした ps コマンドと VM 上の ps コマンドの実行結果を比較した。オフロードした ps コマンドは Transcall を用いて実行した。この実験では、ルートキットを模倣して VM 上の ps コマンドを改ざんし、init プロセスを表示しないようにした。オフロードした ps コマンドは正常に init プロセスを表示したため、VM 上の ps コマンドの実行結果と比較することにより、VM 上で隠されている init プロセスを見つけることができた。

次に、ネットワークの隠しポートを発見するために、ホスト OS にオフロードした netstat コマンドと VM 上の netstat コマンドの実行結果を比較した。この実験では、5900 番ポートを表示しないように VM 上の netstat コマンドを改ざんした。これらのコマンドの実行結果を比較したところ、オフロードした netstat コマンドだけが 5900 番ポートを表示したため、VM 上の netstat コマンドがこのポートを隠していることを検出することができた。

#### 4.2 監視性能の比較

KVM と Xen における監視性能を比較するために、以下の 4 つの場合について実験を行った。

- KVM\_host KVM のホスト OS から VM を監視

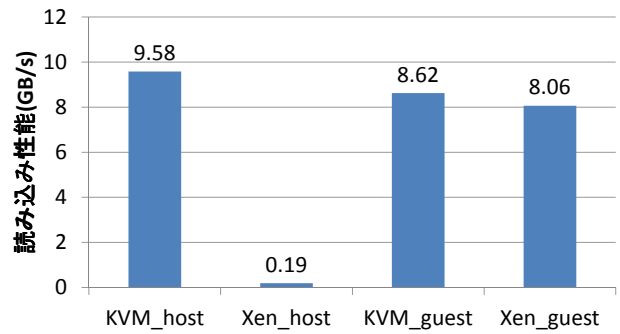


図 4 メモリ読み込み性能

- Xen\_host Xen のドメイン 0 から VM を監視
- KVM\_guest KVM の VM 内で自身を監視
- Xen\_guest Xen のドメイン U 内で自身を監視

##### 4.2.1 メモリ監視性能

メモリ監視性能の比較を行うために、VM のメモリを読み込むベンチマークを行った。このベンチマークは VM のメモリをページ単位でアクセスし、確保した 4 KB の領域に memcpy 関数を用いてコピーした。この実験において、KVM\_host では KVM のホスト OS 上に VM のメモリファイルをマップしてアクセスし、Xen\_host では Xen のドメイン 0 に VM のメモリページをマップしながらアクセスした。この際にアドレス変換は行わず、直接、VM の物理メモリにアクセスを行った。KVM\_guest と KVM\_host については、VM 内で malloc を用いてメモリを確保し、一旦、書き込みを行った後でメモリの読み込み時間を測定した。

図 4 に示す実験結果より、KVM のホスト OS からの読み込み性能 (KVM\_host) は VM 内での性能 (KVM\_guest) よりも高いことが分かった。これは、KVMonitor がメモリファイルをマップした後は通常のメモリアクセスと同等であり、また、KVM のホスト OS には仮想化のオーバヘッドがないためである。一方、Xen のドメイン 0 からの読み込み性能 (Xen\_host) は極端に遅いことが分かった。これは、ドメイン 0 はドメイン U のメモリをページ単位でマップしてアクセスし、その後でアンマップしなければならないためである。

次に、VM 内のカーネルのテキスト領域を読み出して検査を行う IDS を実行し、監視性能の比較を行った。この IDS はテキスト領域の先頭から最後までのアドレスを 4 KB 単位で変換し、目的の物理メモリの内容を読み込む。アドレス変換を行うために VM のメモリ上のページテーブルにもアクセスする必要がある。実験結果を図 5 に示す。KVMonitor を用いた場合の KVM\_host は、Xen でオフロードを行った場合 (Xen\_host) の 100 倍以上高速であった。

##### 4.2.2 ディスク監視性能

ディスク監視性能の比較を行うために、IOZone ベンチ

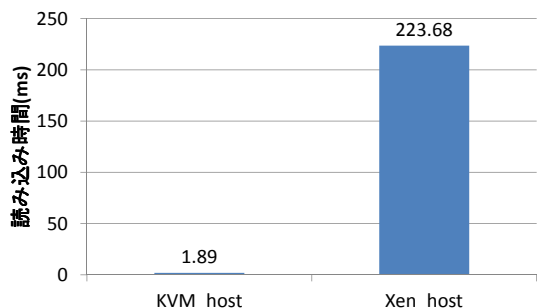


図 5 カーネル監視時間

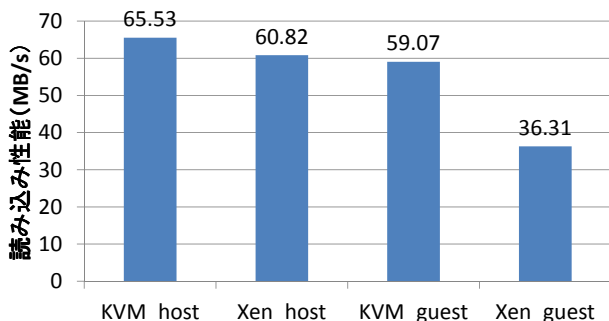


図 6 ディスク読み込み性能

マーク [13] を用いてファイル読み出し性能を調べた。この実験では、IOZone を用いて VM のディスク上に 1GB のテスト用ファイルを作成しておき、そのファイルを読み込む性能を測定した。このファイルは ext4 ファイルシステム上に作成した。KVM\_host と Xen\_host ではディスクイメージをマウントしてファイルへのアクセスを行い、KVM\_guest と Xen\_guest では直接、読み込みを行った。OS 内のキャッシングの影響を排除するために、測定を行うたびに Linux の機能を用いてキャッシングを消去した。

IOZone を 10 回実行した時の平均読み込み性能を図 6 に示す。実験結果から、KVM、Xen ともに VM 内でファイルを読み込む場合 (KVM\_guest、Xen\_guest) より、ホスト側で読み込む場合 (KVM\_host、Xen\_host) のほうが高速であることが分かった。KVM の場合は 11 % 高速になるだけであったが、Xen の場合は 68 % 高速になった。これは、VM のディスクイメージがホスト側に置かれており、ホスト OS は仮想化のオーバヘッドなしでアクセスできるためと考えられる。KVM と Xen を比較すると、ホスト OS と ドメイン 0 からの読み込み性能の差は小さいが、ドメイン U 内での読み込み性能は KVM の VM 内での性能の 61 % であることが分かった。

次に、ディスクイメージの形式の違いによる監視性能への影響を調べるために、KVM と Xen でそれぞれ raw 形式、qcow2 形式を用いた場合についても測定を行った。図 7 にすべての組み合わせについての読み込み性能を示す。KVM の場合は、ディスクイメージの形式の違いによる影響はほぼないことが分かった。一方、Xen の場合は、qcow2 形式を用いるほうがドメイン 0 からの読み込みは 19 % 高速に

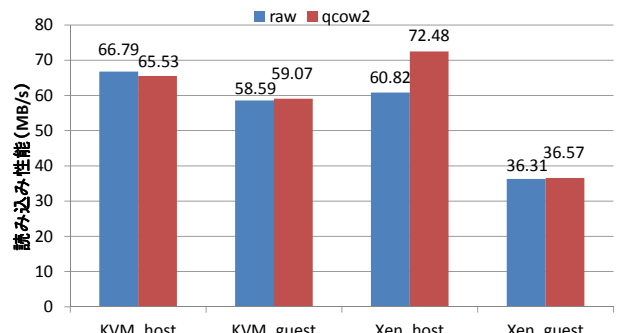


図 7 ディスクイメージ形式の読み込み性能への影響

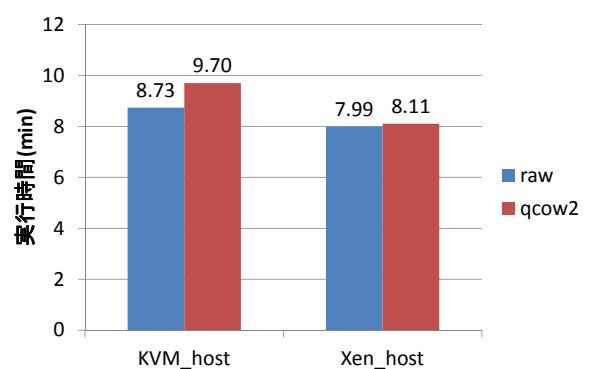


図 8 Tripwire の実行時間

なることが分かった。いずれの場合も、VM 内での読み込み性能への影響はほぼなかった。

#### 4.2.3 Tripwire の実行時間

オフロードした Tripwire を用いて、VM のディスクを監視するのにかかる時間を測定した。この実験も、KVM と Xen のディスクイメージに raw 形式と qcow2 形式の両方を用いた場合について行った。実験条件を統一するために、raw 形式のディスクイメージを qcow2 形式に変換し、KVM と Xen で同じ内容のディスクイメージを使用した。また、Tripwire のポリシーファイルには VM のディスク全体を監視するように記述した。

図 8 に実験結果を示す。どちらの形式のディスクイメージを用いた場合も、Xen における実行時間のほうが KVM より短いという結果となった。Xen と KVM のデフォルトである raw 形式、qcow2 形式をそれぞれ用いた場合には、Xen のほうが 18 % 高速であった。ディスクイメージの形式に関して比較すると、KVM、Xen ともに raw 形式における実行時間が qcow2 形式の場合より短くなった。特に、KVM では raw 形式に変更したほうが 10 % 高速になった。これは、qcow2 形式のディスクイメージはアクセスされるたびに NBD で変換されるため、ディスクアクセスのオーバヘッドが顕著に現れることが原因と考えられる。

#### 4.2.4 パケットキャプチャ性能の比較

オフロードした Snort の性能を調べるために、VM に大量のパケットを送った時の Snort のパケットロス率を測定した。この実験では、トラフィックジェネレータの D-ITG

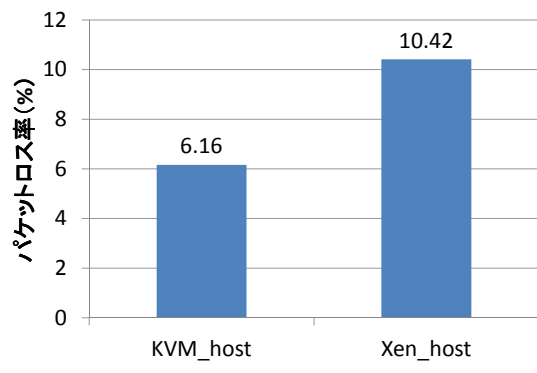


図 9 Snort のパケットロス率

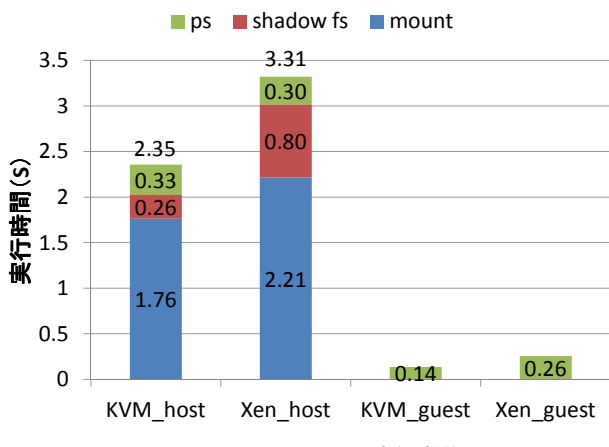


図 10 ps コマンドの実行時間

2.8.0-rc1 [14] を用いて VM のネットワークに負荷をかけた。VM 上のシステムが古く、D-ITG の受信側プログラムがコンパイルできなかつたため、この実験では、ホスト側と同じシステムをインストールした VM を用いた。実験結果は図 9 のようになり、KVM のホスト OS 上で Snort を実行したほうが Xen のドメイン 0 で実行した場合よりパケットロス率は低いことが分かつた。これはドメイン 0 も VM であるため仮想化が行われており、仮想化されていない KVM のホスト OS と比べると性能が劣るためと考えられる。

#### 4.2.5 プロセス情報の取得時間

`ps` コマンドをオフロードして実行した場合と、VM 内で実行した場合の実行時間を測定した。オフロードした `ps` コマンドは Trancall を用いて実行した。それぞれ 10 回測定を行った時の平均を図 10 に示す。実験結果から、KVM においてオフロードした場合のほうが Xen よりも 29 % 高速であることが分かつた。その内訳を見ると、Xen では Shadow proc ファイルシステムの作成とディスクイメージのマウントに時間がかかっているのが原因であることが分かる。一方、VM 内で実行した場合と比較すると、これらのオーバヘッドのせいで非常に時間がかかっていることが分かる。

#### 4.2.6 chkrootkit の実行時間

`chkrootkit` をオフロードし、Transcall を用いて実行し

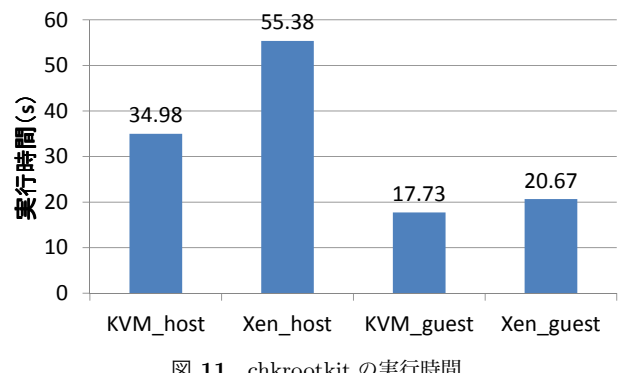


図 11 chkrootkit の実行時間

た場合と、VM 内で実行した場合の実行時間を測定した。`chkrootkit` はファイルの検査も行うため、OS 内のキャッシュの影響を排除するために、測定を行うたびにキャッシュを消去した。KVM と Xen ではそれぞれデフォルトの qcow2 形式、raw 形式のディスクイメージを用いた。それぞれ 10 回測定を行った時の平均を図 11 に示す。オフロードした時の実行時間には VM のディスクイメージのマウント・アンマウント、Shadow proc ファイルシステムの作成の時間も含んでいる。

KVMonitor を用いて `chkrootkit` をオフロードした場合の実行時間 (**KVM\_host**) は VM 内で実行した場合 (**KVM\_guest**) の 2.0 倍となつた。Xen ではオフロードすると 2.7 倍の実行時間がかかることから、KVM におけるオフロードのほうが性能低下の度合いは小さいことが分かつた。

### 4.3 VM の性能分離

#### 4.3.1 CPU 割り当ての制約

VM と IDS からなるグループに割り当てる CPU 時間に制約をかけることができるることを確かめる実験を行つた。グループ 1 には VM とオフロードした Tripwire を含め、VM 上でループを行う loop プログラムを実行した。グループ 2 ではホスト OS 上で同じ loop プログラムを実行した。グループ 1 とグループ 2 の CPU シェアは 60 : 40 に設定した。これらのプログラムの実行を一定時間ごとに制御して、CPU 割り当てが正しく行われるかどうかを調べた。

図 12 は各プログラムとグループ 1 の CPU 使用率の変化を示している。前半では各グループに属しているプロセスを単独で実行し、後半ではグループ 1 の Tripwire とグループ 2 の loop プログラムを同時に実行した。プログラムを単独で実行した場合は、CPU シェアの設定に関わらずほぼ 100 % の CPU を使用した。一方、2 つのグループ内のプログラムを同時に実行した時は CPU 使用率が 60 % と 40 % になった。

次に、(1) グループ 1 内の 2 つのプログラムを同時に実行した場合、(2) 2 つのグループ内の loop プログラムを同時に実行した場合、(3) 全プログラムを同時に実行した場

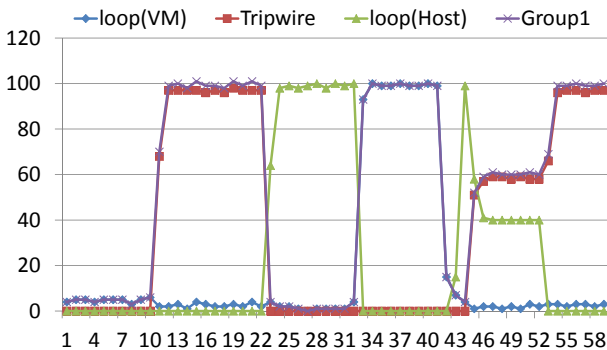


図 12 CPU 使用率の変化 (パターン 1)

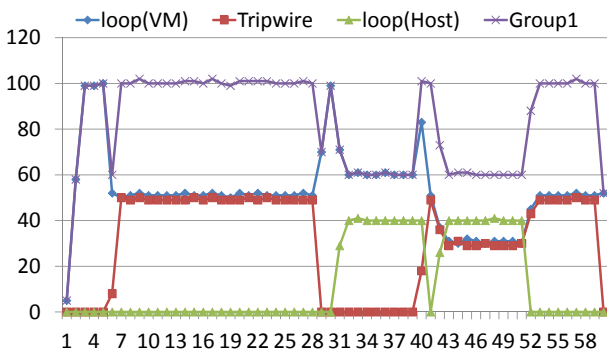


図 13 CPU 使用率の変化 (パターン 2)

合について調べた。図 13 はその時の CPU 使用率の変化を示している。(1) の場合には、Tripwire と loop プログラムが 50 %ずつ CPU を使用した。(2) の場合は、図 12 の場合と同様に 60 : 40 の割合で CPU を使用した。(3) の場合は、グループ間では 60 : 40 の割合で CPU 時間が配分されており、グループ 1 内では 30 %ずつ均等に分け合っていた。

#### 4.3.2 メモリ使用量の制限

VM と IDS のグループ全体のメモリ使用量を制限できることを確かめる実験を行った。VM とオフロードした Tripwire をグループ化し、VM 上でメモリを確保するプログラムを実行した。また、VM と Tripwire のメモリ使用量を個別に把握できるようにするために、VM と Tripwire それぞれからなる子グループを作り、グループをネストさせた。親グループには 256 MB のメモリ制限を設定して実験を行った。図 14 はメモリ使用量の変化を示しており、合計でメモリ使用量を 256 MB 以下に制限出来ていることが分かる。

## 5. 関連研究

Livewire [1] は VM の外から VM 内部の情報を取得する VM イントロスペクションを用いた最初の監視システムである。Livewire ではゲスト OS ごとに OS インタフェース・ライブラリを用意し、ハードウェアの状態から OS の状態を再構築する。Livewire は VMware Workstation に対して実装されており、KVMonitor と同様に IDS をホス

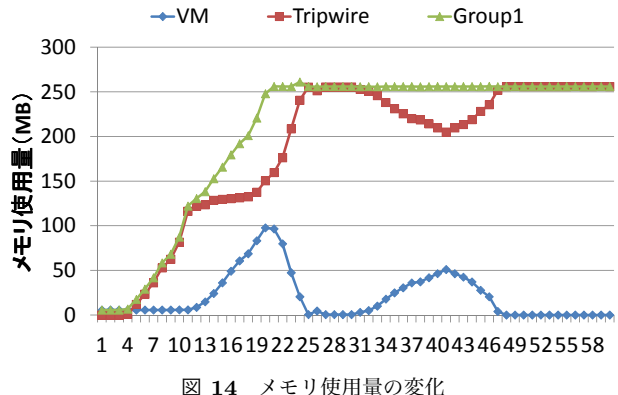


図 14 メモリ使用量の変化

ト OS 上で動作させる。

VMwatcher [3] も VM イントロスペクションを用いた監視システムである。VMwatcher は VM 外での監視結果を VM 内での監視結果と比較する Cross-View Diff を可能にしている。また、ディスクを監視する既存の IDS を VM の外で実行することもできる。VMwatcher は VMware、Xen、QEMU、User-Mode Linux (UML) に対して実装されている。しかし、性能評価は UML についてしか行われておらず、仮想化ソフトウェア間での比較は行われていない。QEMU における実装は KVM でも適用できる可能性があるが、実装の詳細については不明である。

libVMI [15] は KVM と Xen に対応した VM イントロスペクションを行うためのライブラリである。libVMI は Xen 用のライブラリである XenAccess [16] の後継である。libVMI では VM の物理メモリにアクセスするために 2 つの方法を提供している。一つは QEMU にメモリ内容を取得するための QMP コマンドを追加する方法である。もう一つの方法は、メモリダンプを行う QEMU の既存の QMP コマンドを用いる方法である。いずれの方法もネットワーク経由でメモリ内容を送る必要があり、VM のメモリを監視する性能は低いと考えられる。

HyperSpector [2] は OS レベルの仮想化を用いて、IDS オフロードを実現するシステムである。IDS と監視対象システムはそれぞれ、IDS-VM、サーバ VM と呼ばれる仮想環境内で実行される。IDS-VM とサーバ VM は OS を共有しているため、サーバ VM のディスク、ネットワーク、プロセスの監視を容易に行うことができる。

## 6. まとめ

本稿では、KVM における IDS オフロードを実現する KVMonitor を提案した。KVMonitor はホスト OS 上にオフロードした IDS が、VM のメモリやディスク、ネットワークの監視を行うことを可能にする。また、オフロードした IDS が消費するホスト OS のリソースを考慮した VM の性能分離を可能にする。我々は KVMonitor を用いて Transcall を KVM に移植し、既存の IDS をオフロードして異常を検知できることを示した。さらに、KVM と

Xen におけるオフロード性能を定量的に比較した結果、Tripwire の実行を除いて、KVM のほうが性能がよいことが分かった。

今後の課題は、より多くのIDSを動作させられるようにして、さらに網羅的な性能評価を行うことである。

## 参考文献

- [1] Garfinkel, T. and Rosenblum, M.: A Virtual Machine Introspection Based Architecture for Intrusion Detection, *Proc. Network and Distributed Systems Security Symp.*, pp. 191–206 (2003).
- [2] Kourai, K. and Chiba, S.: HyperSpector: Virtual Distributed Monitoring Environments for Secure Intrusion Detection, *Proc. Intl. Conf. Virtual Execution Environments*, pp. 197–207 (2005).
- [3] Jiang, X., Wang, X. and Xu, D.: Stealthy Malware Detection through VMM-based Out-of-the-box Semantic View Reconstruction, *Proc. Conf. Computer and Communications Security*, pp. 128–138 (2007).
- [4] Barham, P., Dragovic, B., Fraser, K., Hand, S., Harris, T., Ho, A., Neugebauer, R., Pratt, I. and Warfield, A.: Xen and the Art of Virtualization, *Proc. Symp. Operating Systems Principles*, pp. 164–177 (2003).
- [5] 新井昇鎧, 光来健一, 千葉滋: 仮想マシンを用いたIDSオフロードにおけるCPU資源管理, 第114回OS研究会(2010).
- [6] 内田昂志, 岡崎正剛, 光来健一: IDSオフロードを考慮した仮想マシンへの動的メモリ割当, 第116回OS研究会(2011).
- [7] 飯田貴大, 光来健一: VM Shadow: 既存IDSをオフロードするための実行環境, 第119回OS研究会(2011).
- [8] 宇都宮寿仁, 光来健一: VMマイグレーションを可能にするIDSオフロード機構, 日本ソフトウェア科学会第28回大会(2011).
- [9] Butt, S., H. L.-C., Srivastava, A. and Ganapathy, V.: Self-Service Cloud Computing, *Proc. Conf. Computer and Communications Security* (2012).
- [10] Murilo, N. and Steding-Jessen, K.: chkrootkit – Locally Checks for Signs of a Rootkit, <http://www.chkrootkit.org/>.
- [11] Kim, G. and Spafford, E.: The Design and Implementation of Tripwire: A File System Integrity Checker, *Proc. Conf. Computer and Communications Security*, pp. 18–29 (1994).
- [12] Roesch, M.: Snort – Lightweight Intrusion Detection for Networks, *Proc. USENIX System Administration Conf.* (1999).
- [13] Norcott, W.: IOzone Filesystem Benchmark, <http://www.iozone.org/>.
- [14] Avallone, S. and Pescapè, A.: D-ITG, Distributed Internet Traffic Generator, <http://traffic.comics.unina.it/software/ITG/>.
- [15] Payne, B. and Leinhos, M.: vmitools – Virtual Machine Introspection Tools, <http://code.google.com/p/vmitools/>.
- [16] Payne, B., Carbone, M. and Lee, W.: Secure and Flexible Monitoring of Virtual Machines, *Proc. Annual Conf. Computer Security Applications*, pp. 385–397 (2007).